

Starkniederschlagshöhen und -spenden gemäß KOSTRA-DWD-2010R

Auswertungszeitraum von 1951 - 2010, Januar - Dezember

Rasterfeld: 83063

Zeile: 83

Spalte: 63

Seite: 1/2

| Dauerstufe D | Wiederkehrzeit T | | | | | | | | | | | | | | | | | | |
|--------------|------------------|------|------------|------|------------|------|------------|-------|------------|-------|------------|-------|------------|-------|------------|-------|------------|-------|------------|
| | 1 a | | 2 a | | 3 a | | 5 a | | 10 a | | 20 a | | 30 a | | 50 a | | 100 a | | |
| min | Std | mm | l / (s ha) | mm | l / (s ha) | mm | l / (s ha) | mm | l / (s ha) | mm | l / (s ha) | mm | l / (s ha) | mm | l / (s ha) | mm | l / (s ha) | mm | l / (s ha) |
| 5 | | 5,5 | 183,3 | 7,6 | 253,3 | 8,9 | 296,7 | 10,4 | 346,7 | 12,5 | 416,7 | 14,6 | 486,7 | 15,8 | 526,7 | 17,3 | 576,7 | 19,4 | 646,7 |
| 10 | | 9,0 | 150,0 | 11,8 | 196,7 | 13,4 | 223,3 | 15,4 | 256,7 | 18,2 | 303,3 | 21,0 | 350,0 | 22,6 | 376,7 | 24,7 | 411,7 | 27,5 | 458,3 |
| 15 | | 11,3 | 125,6 | 14,6 | 162,2 | 16,5 | 183,3 | 19,0 | 211,1 | 22,2 | 246,7 | 25,5 | 283,3 | 27,5 | 305,6 | 29,9 | 332,2 | 33,2 | 368,9 |
| 20 | | 13,0 | 108,3 | 16,7 | 139,2 | 18,9 | 157,5 | 21,6 | 180,0 | 25,3 | 210,8 | 29,0 | 241,7 | 31,2 | 260,0 | 33,9 | 282,5 | 37,7 | 314,2 |
| 30 | | 15,3 | 85,0 | 19,7 | 109,4 | 22,2 | 123,3 | 25,5 | 141,7 | 29,9 | 166,1 | 34,2 | 190,0 | 36,8 | 204,4 | 40,1 | 222,8 | 44,4 | 246,7 |
| 45 | | 17,3 | 64,1 | 22,5 | 83,3 | 25,5 | 94,4 | 29,3 | 108,5 | 34,5 | 127,8 | 39,7 | 147,0 | 42,8 | 158,5 | 46,6 | 172,6 | 51,8 | 191,9 |
| 60 | | 18,5 | 51,4 | 24,4 | 67,8 | 27,8 | 77,2 | 32,1 | 89,2 | 37,9 | 105,3 | 43,8 | 121,7 | 47,2 | 131,1 | 51,5 | 143,1 | 57,4 | 159,4 |
| 90 | | 21,0 | 38,9 | 27,0 | 50,0 | 30,5 | 56,5 | 35,0 | 64,8 | 41,0 | 75,9 | 47,0 | 87,0 | 50,5 | 93,5 | 55,0 | 101,9 | 61,0 | 113,0 |
| 120 | 2 | 23,0 | 31,9 | 29,1 | 40,4 | 32,7 | 45,4 | 37,2 | 51,7 | 43,4 | 60,3 | 49,5 | 68,8 | 53,1 | 73,8 | 57,6 | 80,0 | 63,7 | 88,5 |
| 180 | 3 | 26,1 | 24,2 | 32,4 | 30,0 | 36,1 | 33,4 | 40,7 | 37,7 | 47,0 | 43,5 | 53,3 | 49,4 | 57,0 | 52,8 | 61,7 | 57,1 | 68,0 | 63,0 |
| 240 | 4 | 28,5 | 19,8 | 34,9 | 24,2 | 38,7 | 26,9 | 43,4 | 30,1 | 49,9 | 34,7 | 56,3 | 39,1 | 60,1 | 41,7 | 64,8 | 45,0 | 71,2 | 49,4 |
| 360 | 6 | 32,4 | 15,0 | 39,0 | 18,1 | 42,8 | 19,8 | 47,7 | 22,1 | 54,3 | 25,1 | 60,9 | 28,2 | 64,8 | 30,0 | 69,7 | 32,3 | 76,3 | 35,3 |
| 540 | 9 | 36,7 | 11,3 | 43,5 | 13,4 | 47,5 | 14,7 | 52,5 | 16,2 | 59,3 | 18,3 | 66,1 | 20,4 | 70,1 | 21,6 | 75,1 | 23,2 | 81,9 | 25,3 |
| 720 | 12 | 40,2 | 9,3 | 47,1 | 10,9 | 51,2 | 11,9 | 56,3 | 13,0 | 63,2 | 14,6 | 70,1 | 16,2 | 74,2 | 17,2 | 79,3 | 18,4 | 86,2 | 20,0 |
| 1080 | 18 | 45,6 | 7,0 | 52,7 | 8,1 | 56,9 | 8,8 | 62,1 | 9,6 | 69,3 | 10,7 | 76,4 | 11,8 | 80,5 | 12,4 | 85,8 | 13,2 | 92,9 | 14,3 |
| 1440 | 24 | 49,9 | 5,8 | 57,2 | 6,6 | 61,4 | 7,1 | 66,7 | 7,7 | 74,0 | 8,6 | 81,3 | 9,4 | 85,5 | 9,9 | 90,8 | 10,5 | 98,1 | 11,4 |
| 2880 | 48 | 63,7 | 3,7 | 73,8 | 4,3 | 79,8 | 4,6 | 87,3 | 5,1 | 97,4 | 5,6 | 107,6 | 6,2 | 113,6 | 6,6 | 121,1 | 7,0 | 131,2 | 7,6 |
| 4320 | 72 | 73,4 | 2,8 | 85,3 | 3,3 | 92,2 | 3,6 | 101,0 | 3,9 | 112,9 | 4,4 | 124,7 | 4,8 | 131,7 | 5,1 | 140,4 | 5,4 | 152,3 | 5,9 |

Angaben in mm: Bemessungsniederschlagswerte h(n)

Angaben in l / (s ha): Regenspende R(n) mit $R(n) = h(n) \times 1,666667 / D[\text{min}]$

Toleranzbereiche:

+/- 10 % für $1 a \leq T \leq 5 a$

+/- 15 % für $5 a < T \leq 50 a$

+/- 20 % für $50 a < T \leq 100 a$

Datenbasis: KOSTRA-DWD-2010R des Deutschen Wetterdienstes. Die Regenspende wurde auf Basis des Bemessungsniederschlags zur jeweiligen Andauer berechnet.

Für die Richtigkeit und Aktualität der Angaben wird keine Gewähr übernommen. Erstellt 07/2022.

Starkniederschlagshöhen und -spenden gemäß KOSTRA-DWD-2010R

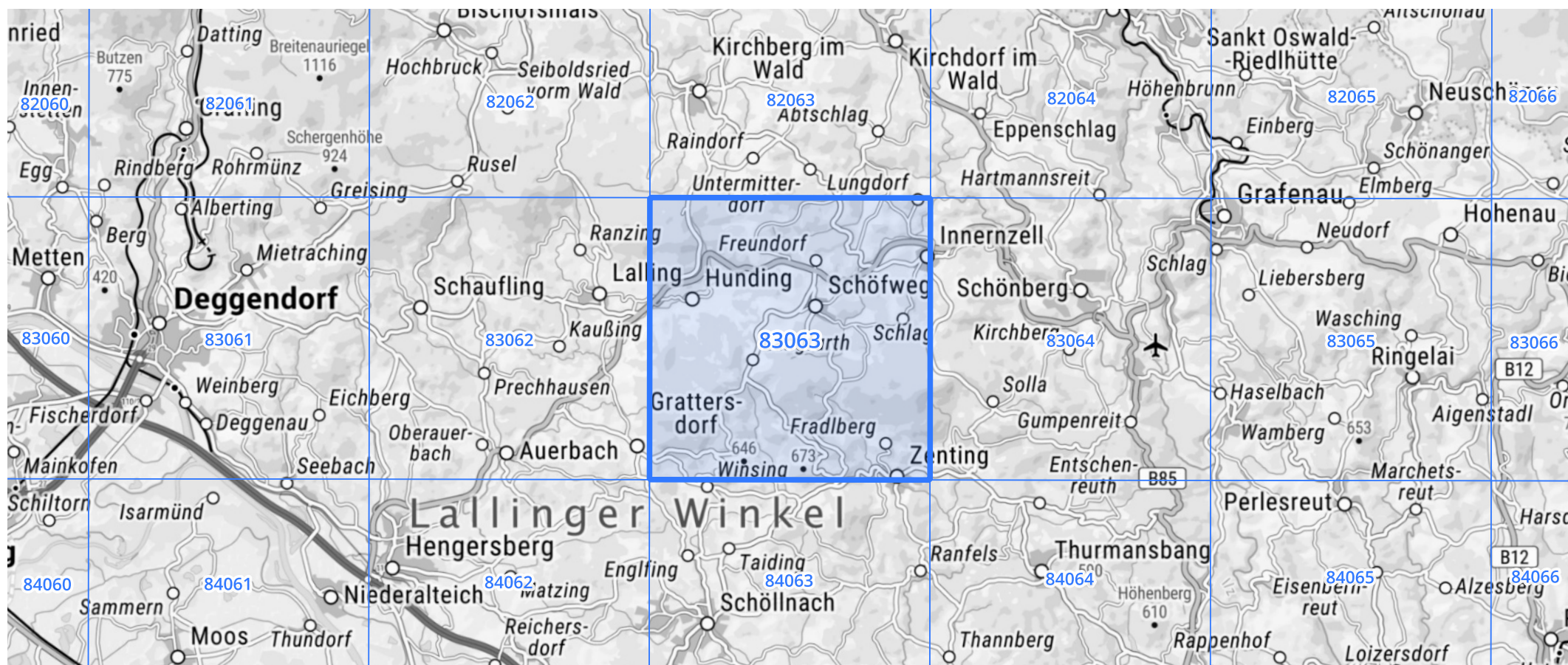
Auswertungszeitraum von 1951 - 2010, Januar - Dezember

Rasterfeld: 83063

Zeile: 83

Spalte: 63

Seite: 2/2



Quelle Rasterdaten: KOSTRA-DWD-2010R des Deutschen Wetterdienstes.

Kartendarstellung: © Bundesamt für Kartographie und Geodäsie (2022), Datenquellen: https://sgx.geodatenzentrum.de/web_public/gdz/datenquellen/Datenquellen_TopPlusOpen.html

Für die Richtigkeit und Aktualität der Angaben wird keine Gewähr übernommen. Erstellt 07/2022.